

DAFTAR PUSTAKA

- Al-Azzam, K. M. 2023, SwissADME and pkCSM Webservers Predictors: an integrated Online Platform for Accurate and Comprehensive predictions for *In silico* ADME/T Properties of Artemisinin and its Derivatives. *Complex Use of Mineral Resources.* 325(2):14-21, DOI: 10,31643/2023/6445.13
- Awortwe C, Fasinu PS, Rosenkranz B. Application of Caco-2 cell line in herb-drug interaction studies: current approaches and challenges. *J Pharm Pharm Sci.* 2014;17(1):1-19, DOI: 10,18433/j30k63,
- Benigni, R., Bossa, C., Jeliazkova, N., Netzeva, T., & Worth, A. 2008, The Benigni/Bossa Rulebase for Mutagenicity and Carcinogenicity – a Module of Toxtree. *JRC European Communities.*
- Benigni, R., Bossa, C., & Tcheremenskaia, O. 2012, Nongenotoxic Carcinogenicity of chemicals: Mechanisms of Action and early Recognition through a New Set of Structural Alerts. ACS Publications. DOI:10,1021/cr300206t
- Cardoso, F. L., Brites, D. & Brito, M. A. 2010, Looking at The Blood-Brain Barrier: Molecular Anatomy and Possible Investigation Approaches. *Brain Res Rev.* 64(2): 328-363, DOI: 10,1016/j.brainresrev.2010.05.003
- Chakole, R. D. & Charde, M. S. 2022, Molecular Docking, Pre-ADME, and Pre-Tox Analysis of Swainsonine and Castanospermine as Potentioal Glucokinase Activators. *Journal of Pharmaceutical Negative Results.* 13(10): 6456-6464, DOI: <https://doi.org/10.47750/>
- Chen, Y., Stork, C., Hirte, S., & Kirchmair, J. (2019). NP-Scout: Machine Learning Approach for the Quantification and Visualization of the Natural Product-Likeness of Small Molecules. *Biomolecules*, 9(2), 43, DOI:10.3390/biom9020043
- Daina, A., & Zoete, V. 2016, A BOILED_Egg to Predict Gastrointestinal Absorption and Brain Penetration of Small Molecules. *ChemMedChem*, 11, 1117 – 1121, DOI: 10.1002/cmdc.201600182
- Daina, A., Michielin, O. & Zoete, V. 2017, SwissADME: a free web tool to evaluate pharmacokinetics, drug-likeness and medicinal chemistry friendliness of small molecules. *Sci Rep* 7, 42717, DOI: <https://doi.org/10.1038/srep42717>
- DiMasi, J. A., Grabowski, H. G., & Hansen, R. W. (2016). Innovation in the pharmaceutical industry: New estimates of R&D costs. *Journal of health economics*, 47, 20-33,DOI: 10.1016/j.jhealeco.2016.01.012
- Dong, J., Wang, N.-N., Yao, Z.-J., Zhang, L., Cheng, Y., Ouyang, D., ... Cao, D.-S. (2018). ADMETlab: a platform for systematic ADMET evaluation based on a comprehensively collected ADMET database. *Journal of Cheminformatics*, 10(1). DOI:10.1186/s13321-018-0283-x
- K. M., & Baldwin, J. J. (2000). Prediction of Drug Absorption Multivariate Statistics. *Journal of Medicinal Chemistry*, 43(21), 77, DOI:10.1021/jm000292e
- , Watanabe, R., Natsume-Kitatani, Y., Kawashima, H., Nagao, Iura, H. & Mizuguchi, K. 2019, Constructing an *In silico* Three-Predictor of Human Intestinal Absorption With Caco-2 Solubility and Dried-DMSO Solubility. *J Pharm Sci.* 108(11): 3630- DOI: 10.1016/j.xphs.2019.07.014



- Faulkner, D.J. (1988). Marine Natural Products. *Natural Product Reports*, 5(6), 613-663, DOI: <https://doi.org/10.1039/NP9880500613>
- Faulkner, D.J. (1992). Marine Natural Products. *Natural Product Reports*, 9(4), 323-364, DOI: 10.1039/NP9920900323
- Faulkner, D.J. (1995). Marine Natural Products. *Natural Product Reports*, 12(3), 223-269, DOI: 10.1039/NP9951200223
- Faulkner, D.J. (2000). Highlights of Marine Natural Products Chemistry (1972–1999). *Natural product reports*, 17(1), 1-6, DOI: <https://doi.org/10.1039/A909113K>
- Feinberg, E. N., Joshi, E., Pande, V. S. & Cheng, A. C. 2020, Improvement in ADMET Prediction with Multitask Deep Featurization. *J Med Chem.* 63(16): 8835-8848, DOI: 10.1021/acs.jmedchem.9b02187
- Ferreira, L. L. G., & Andricopulo, A. D. (2019). ADMET modeling approaches in drug discovery. *Drug Discovery Today*. DOI:10.1016/j.drudis.2019.03.015
- Fujita, T., Urban, T. J., Leabman, M. K., Fujita, K., & Giacomini, K. M. 2006, Transport of drugs in the kidney by the human organic cation transporter, OCT2 and its genetic variants. *Journal of Pharmaceutical Sciences*. 95(1): 25-36, DOI: <https://doi.org/10.1002/jps.20536>
- Ghose, A. K., Viswanadhan, V. N., & Wendoloski, J. J. (1999). A Knowledge-Based Approach in Designing Combinatorial or Medicinal Chemistry Libraries for Drug Discovery. 1, A Qualitative and Quantitative Characterization of Known Drug Databases. *Journal of Combinatorial Chemistry*, 1(1), 55–68, DOI: 10.1021/cc9800071
- Ghafourian, T., Amin, Z. 2013, QSAR Models for The Prediction of Plasma Protein Binding. *Bioimpacts*. 3: 21-27, DOI: 10.5681/bi.2013.011
- Gomes, A. R., Varela, C. L., Tavares-da-Silva, E. J., & Roleira, F. M. F. 2020, Epoxide Containing Molecules: a Good of a Bad Drug Design Approach. *European Journal of Medicinal Chemistry*. 112327, DOI: 10.1016/j.ejmech.2020.112327
- Grabowski, T. & Jaroszewski, J. J. 2009, Bioavailability of Veterinary Drugs *In vivo* and *In silico*. *Journal of Veterinary Pharmacology and Therapeutics*. 32(3): 249-257, DOI: <https://doi.org/10.1111/j.1365-2885.2008.01034.x>
- Guerriero, A., Meinesz, A., D'Ambrosio, M., & Pietra, F. (1992). Isolation of Toxic and Potentially Toxic Sesqui- and Monoterpenes from the Tropical Green Seaweed *Caulerpa taxifolia* Which Has Invaded the Region of Cap Martin and Monaco. *Helvetica Chimica Acta*, 75(3), 689–695, DOI: 10.1002/hlca.19920750303
- Hall, L. M., Hall, L. H., Kier, L. B. 2003, QSAR Modelling of Beta-lactam Binding to Human Serum Proteins. *J. Comput. Aided Mol. Des.* 17: 103-118, DOI: 10.1023/a:1025309604656
- Huang, M., Dao, H., & Dimmock, J. R. 2019, Recent Advances In A,B-Unsaturated I Compounds As Mitochondrial Toxins. *European Journal of General Chemistry*. 183, 111687, DOI: <https://doi.org/10.1016/j.ejmech.2019.111687>
- Heeg, H. V., Luijten, M., & Benthem, J. V. 2009, Mechanisms of Genotoxic Carcinogens and Importance of a Weight of Evidence in Human. *Mutation Research/Reviews in Mutation Research*. 682(2-3): 109-109, DOI: <https://doi.org/10.1016/j.mrrev.2009.07.002>



- Hughes, J. D., Blagg, J., Price, D. A., Bailey, S., Decrescenzo, G. A., Devraj, R. V., ... & Attwood, R. M. (2008). Physiochemical drug properties associated with *in vivo* toxicological outcomes. *Bioorganic & medicinal chemistry letters*, 18(17), 4872-4875, DOI: 10.1016/j.bmcl.2008.07.071
- Jia, C. Y., Li, J. Y., Hao, G. F., & Yang, G. F. (2020). A Drug-likeness Toolbox Facilitates ADMET Study in Drug Discovery. *Drug Discovery Today*. 25(1): 248-258, DOI: <https://doi.org/10.1016/j.drudis.2019.10.014>
- Kostal, J. (2016). [Advances in Molecular Toxicology] Volume 10 || Computational Chemistry in Predictive Toxicology. 139–186, DOI:10.1016/B978-0-12-804700-2.00004-0
- Levy, D. D., Zeiger, E., Escobar, P. A., Hakura, A., Leede, B. J. M., Kato, M., Moore, M. M., & Sugiyama, K. 2019, Recommended Criteria for The Evaluation of Bacterial Mutagenicity Data (AMES Test). *Mutation Research/Genetic Toxicology and Environmental Mutagenesis*. DOI: 10.1016/j.mrgentox.2019.07.004
- Li, H., Yap, C. W., Ung, C. Y., Xue, Y., Cao, Z. W. & Chen, Y. Z. 2005. Effect of Selection of Molecular Descriptors on the Prediction of Blood-Brain Barrier Penetrating and Nonpenetrating Agents by Statistical Learning Methods. *J. Chem. Inf. Model.* 45: 1376-1384, DOI: 10.1021/ci050135u
- Lipinski, C. A., Lombardo, F., Dominy, B. W., & Feeney, P. J. (1997). Experimental and computational approaches to estimate solubility and permeability in drug discovery and development settings. *Advanced Drug Delivery Reviews*, 23(1-3), 3–25, DOI: 10.1016/s0169-409x(96)00423-1
- Mehra, R., Bushan, S., Bast, F., & Singh, S. (2019). Bioactive metabolites from *Caulerpa* species and their associated pharmaceutical properties. *Journal of Applied Phycology*, 31(5), 2919-2934, DOI: <https://doi.org/10.1007/s11033-019-04743-5>
- Moroy, G., Martiny, V. Y., Vayer, P., Villoutreix, B. O., & Miteva, M. A. (2012). Toward *in silico* structure-based ADMET prediction in drug discovery. *Drug Discovery Today*, 17(1-2), 44–55, DOI: 10.1016/j.drudis.2011.10.023
- Muegge, I., Heald, S. L., & Britelli, D. (2001). Simple Selection Criteria for Drug-like Chemical Matter. *Journal of Medicinal Chemistry*, 44(12), 1841–1846, DOI: 10.1021/jm015507e
- Nicolov M, Cocora M, Buda V, Danciu C, Duse AO, Watz C, Borcan F. (2021). Hydrosoluble and Liposoluble Vitamins: New Perspectives through ADMET Analysis. *Medicina*. 57(11):1204, DOI: <https://doi.org/10.3390/medicina57111204>,
- Obach, R. S., Lombardo, F. & Waters, N. J. 2008, Trend Analysis of a Database of Intravenous Pharmacokinetic Parameters in Humans for 670 Drug Compounds. *Drug Metab. Dispos.* 36: 1385-1405, DOI: 10.1124/dmd.10.020479
-  PDF file icon showing a red folder with a white document and a magnifying glass.
- Pieters, M., Schols, D., Persoons, L., & Zorc, B. (2020). Itaconic acid as potential anticancer agents. *Molecular Diversity*. DOI: <https://doi.org/10.1007/s11030-020-10147-6>
- Shah, L. B., and David B. A. 2015, “PkCSM : Predicting Small-molecule Pharmacokinetic Properties Using Graph-Based Signatures (How to Interpret PkCSM Result).” [pkCSM: sig.unimelb.edu.au/pkcsm/theory](http://sig.unimelb.edu.au/pkcsm/theory)

- Plosnik, A., Vracko, M. & Dolenc, M. S. 2016, Mutagenic and Carcinogenic Structural Alerts and Their Mechanisms of Action. *Arh Hig Rada Toksikol.* 67: 169-182, DOI: 10.1515/aiht-2016-67-2801
- Protti, I. F., Rodrigues, D. R., Fonseca, S. K., Alves, R. J., B de Oliveira, R. & Maltarollo, V. G. 2021, Do Drug-likeness Rules Apply to Oral Prodrugs?. *ChemMedChem.* 16(9): 1446-1456, DOI: 10.1002/cmdc.202000805
- Radchenko, E. V., Dyabina, A. S., Palyulin, V. A. & Zefirov, N. S. 2016, Prediction of Human Intestinal Absorption of Drug Compounds. *Bulletin of the Academy of Sciences of the USSR Division of Chemical Science.* 65(2):576-580, DOI:10.1007/s11172-016-1340-0
- Resende, F. A., Vilegas, W., Santos, L. C. D., & Varanda, E. A. 2012, Mutagenicity of Falvonoids Assayed by Bacterial Reverse Mutation (AMES) Test. *Molecules.* 17(5): 5255-5268, DOI: <https://doi.org/10.3390/molecules17055255>
- Rochfort, S.J., Watson, R. dan Capon, R.J. (1996). Dictyosphaerin: a Novel Bicyclic Lipid From a Southern Australian Marine Green Algae, Dictyosphaeria sericea. *Journal of Natural Products,* 59(12), 1154-1156, DOI: <https://doi.org/10.1021/np9605347>
- Rydberg, P., Gloriam, D., Zaretzki, J., Breneman, C., dan Olsen, L. 2010, SMARTCyp: A 2D Method for Prediction of Cytochrome P450-Mediated Drug Metabolism, *ACS Med. Chem. Lett.*, 1 (3), pp 96-100, DOI: 10.1021/ml100016x
- Rydberg, P., Gloriam, D., dan Olsen, L. 2010, The SMARTCyp cytochrome P450 metabolism prediction server, *Bioinformatics,* 26, 2988-2989, DOI: 10.1093/bioinformatics/btq584
- Scheuer, P.J. dan Higa, T. (1987). *Bioorganic Marine Chemistry.* SpringerVerlag.
- Shen, J., Cheng, F., Xu, Y., Li, W. & Tang, Y. 2010, Estimation of ADME Properties with Substructure Pattern Recognition. *J. Chem. Inf. Model.* 50: 1034-1041, DOI: DOI: 10.1021/ci100104j
- Stephens, C., Lucena, M. I., & Andrade, R. J. (2018). Idiosyncratic Drug-Induced Liver Injury: Mechanisms and Susceptibility Factors. *Comprehensive Toxicology,* 625–650, DOI: 10.1016/b978-0-12-801238-3.64089-8,
- Thorn, H. A., Lundhal, A., Schrickx, J. A., Dickinson, P. A., & Lennernas, H. 2011, Drug Metabolism of CYP3A4, CYP2C9, and CYP2D6 substrates in pigs and humans. *European Journal of Pharmaceutical Sciences.* 43(3): 89-98, DOI: <https://doi.org/10.1016/j.ejps.2011.03.008>
- Tringali, C. (1997). Bioactive Metabolites from Marine Algae: Recent Results. *Curr. Org. Chem.*, 1(4), 375-394, DOI: 10.2174/138527280166220126161423
- Ursini, F., & Maiorino, M. 2013, Encyclopedia of Biological Chemistry. 2nd Ed. US: Academic Press.



Optimization Software:
www.balesio.com

molecular Docking, Drug Likeness, and ADMET Analyses of a Compounds as P-Glycoprotein (P-gp) Inhibitor for the Treatment of Cancer. *Current Pharmacology Reports.* DOI: 10.340495-020-00241-6,

hong, Y., Nie, X. & Yu, C. 2013, In-Silico Prediction of Blood-Brain Barrier Permeability. *SAR QSAR Environ. Res.* 24: 61-74, DOI: 10.1062936X.2012.729224

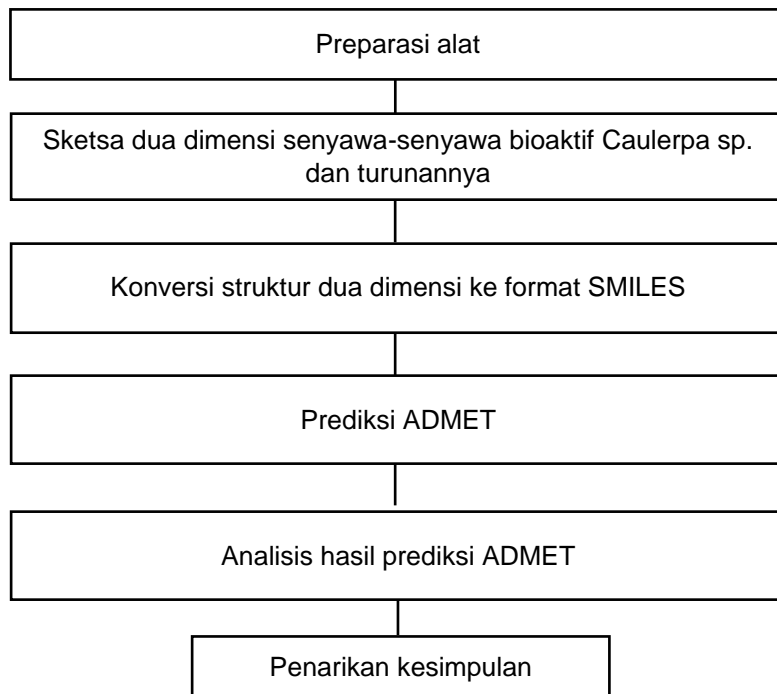
- Yang, P., Liu, D. Q., Liang, T. J., Li, J., Zhang, H.Y., Liu, A.H., Guo, Y.W., & Mao, S.C. (2015). Bioactive Constituents from The Green Alga *Caulerpa racemosin*. *Bioorganic & Medicinal Chemistry*, 23, 38-45, DOI: <http://dx.doi.org/10.1016/j.bmc.2014.11.031>
- Yap, C. W. (2011). PaDEL-descriptor: An open source software to calculate molecular descriptors and fingerprints. *Journal of Computational Chemistry*, 32(7), 1466-1474, DOI: <https://doi.org/10.1002/jcc.21707>
- Yap, C. W., Li, Z. R. & Chen, Y. Z. 2006, Quantitative Structure-Pharmacokinetic Relationships for Drug Clearance by Using Statistical Learning Methods. *J. Mol. Graph. Model.* 24: 383-395, DOI: <10.1016/j.jmgm.2005.10.004>
- Yeni, Y. & Rachmania, R. A. 2022, The Prediction of Pharmacokinetic Properties of Compounds in *Hemigraphis alternata* (Burm.F.) T. Ander Leaves Using pkCSM. *Indones. J. Chem.* 22(4): 1081-1089, DOI: <10.22146/ijc.73117>
- Veber, D. F., Johnson, S. R., Cheng, H.-Y., Smith, B. R., Ward, K. W., & Kopple, K. D. (2002). Molecular Properties That Influence the Oral Bioavailability of Drug Candidates. *Journal of Medicinal Chemistry*, 45(12), 2615–2623, DOI: <10.1021/jm020017n>.
- Xiong, G., Wu, Z., Yi, J., Fu, L., Yang, Z., Hsieh, C., Yin, M., Zeng, X., Wu, C., Lu, A., Chen, X., Hou, T., & Cao, D. (2021). ADMETLab 2.0: an Integrated Online Platform for Accurate and Comprehensive Predictions of ADMET Properties. *Nucleic Acids Research*, pp. 1-10, DOI: <10.1093/nar/gkab255>,
- Zadorozhnii, P. V., Kiselev, V. V. & Kharchenko, A. V. 2022, *In silico* ADME Profiling of Salubrinal and Its Analogues. *Future Pharmacol.* 2(2): 160-197, DOI: <https://doi.org/10.3390/futurepharmacol2020013>,
- Zayed, A., Babaresh, W. M., Darweesh, R. S., El-Elimat, T., & Hawamdeh, S. S. (2020) Piperine Alters the Pharmacokinetics and Anticoagulation of Warfarin in Rats, *Journal of Experimental Pharmacology*, 12:, 169-179, DOI: <10.2147/JEP.S257919>
- Zhao, M., Ma, J., Li, M., Zhang, Y., Jiang, B., Zhao, X., Huai, C., Shen, L., Zhang, N., He, L., & Qin, S. 2021, Cytochrome P450 Enzymes and Drug Metabolism in Humans. *Int J Mol Sci.* 22(23): 12808, DOI: <10.3390/ijms222312808>,
- Zhivkova, Z. & Doytchinova, I. 2012, Quantitative Structure-Plasma Protein Binding Relationships of Acidic Drugs. *J. Pharm. Sci.* 101: 4627-4641, DOI: <10.1002/jps.23303>
- Zhu, X. W., Sedykh, A., Zhu, H., Liu, S. S., Tropsha, A. 2013, The Use of Pseudo-equilibrium Constant Affords Improved QSAR Models of Human Plasma Protein Binding. *Pharm. Res.* 30: 1790-1798, DOI: <10.1007/s11095-013-1023-6>



Optimization Software:
www.balesio.com

LAMPIRAN

Lampiran 1. Skema Kerja

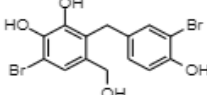
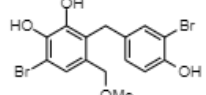
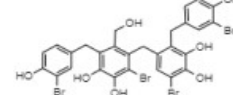
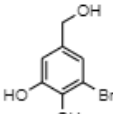
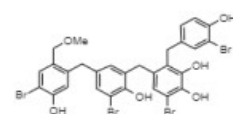
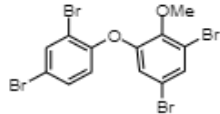


Optimization Software:
www.balesio.com

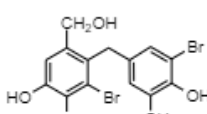
Lampiran 2. Hasil penelitian

2.1 Golongan Fenolik

Tabel 1. Senyawa Golongan Fenolik dan Turunannya yang Terkandung Dalam *Caulerpa sp.*

Senyawa 1	Senyawa 2	Senyawa 3
		
(Scheuer dan Higa, 1987)	(Tringali, 1997)	(Tringali, 1997)
SMILES: OCC1=CC(Br)=C(O)C(O) =C1CC1=CC=C(O)C(Br) =C1	SMILES: BrC(C=C1COC)=C(C(O))=C1CC2=CC=C(C(Br)= C2)O)O	SMILES: OC1=CC=C(CC2=C(O) C(O)=C(Br)C(CC3=CC(=Br)=C(O)C(O)=C3CC4= CC=C(O)C(Br)=C4)=C2 CO)C=C1Br
Senyawa 4	Senyawa 5	Senyawa 6
		
(Tringali, 1997)	(Tringali, 1997)	(Tringali, 1997)
SMILES: OC1=CC(CO)=CC(Br)=C1O	SMILES: BrC1=CC(COC)=C(CC2=C(C(Br)=C(O)C(CC3=C(C(Br)=C(O)C(O)=C3CC4=CC=C(C(O)C(Br)=C4)=C2)C=C1O	SMILES: BrC1=C(OC)C(OC2=C(Br)C=C2)=CC(Br)=C1

Senyawa 7



(Scheuer dan Higa, 1987)

SMILES:
OC1=CC(CO)=C(CC2=C(C(O)C(O)C(Br)=C2)C(Br)



si Drug-likeness Senyawa Golongan Fenolik dari SwissADME.

ski	Ghose	Veber	Egan	Muegge
Ya	Ya	Ya	Ya	Ya
Ya	Ya	Ya	Ya	Ya

Senyawa 3	Tidak	Tidak	Tidak	Tidak	Tidak
Senyawa 4	Ya	Tidak	Ya	Ya	Ya
Senyawa 5	Tidak	Tidak	Ya	Tidak	Tidak
Senyawa 6	Tidak	Tidak	Ya	Tidak	Tidak
Senyawa 7	Ya	Ya	Ya	Ya	Ya

Tabel 3. Hasil Prediksi *Drug-likeness* Senyawa Golongan Fenolik dari ADMETLab 2.0,

Senyawa	NP Score	Lipinski	Pfizer	GSK	Golden Triangle
Senyawa 1	1,13	Ya	Ya	Tidak	Ya
Senyawa 2	0,91	Ya	Tidak	Tidak	Ya
Senyawa 3	0,95	Tidak	Ya	Tidak	Tidak
Senyawa 4	1,21	Ya	Ya	Ya	Ya
Senyawa 5	0,87	Tidak	Ya	Tidak	Tidak
Senyawa 6	0,07	Tidak	Tidak	Tidak	Tidak
Senyawa 7	1,34	Ya	Ya	Tidak	Ya

Tabel 4. Hasil Prediksi Profil Farmakokinetika Senyawa Golongan Fenolik dari ADMETLab 2.0.

Senyawa	Absorpsi			Distribusi		Metabolisme			Ekskresi
	Caco -2	HIA (%)	Fu (%)	VD	BBB	CYP 2C9	CYP2 D6	CYP3 A4	
Senyawa 1	-4,91	>30	0,98	0,38	Tidak	Tidak	Tidak	Tidak	3,30
Senyawa 2	-4,83	>30	1,13	0,47	Tidak	Tidak	Tidak	Tidak	1,98
Senyawa 3	-6,10	<30	0,64	0,48	Tidak	Tidak	Tidak	Ya	2,37
Senyawa 4	-4,55	>30	25,4	0,56	Tidak	Tidak	Tidak	Tidak	9,83
Senyawa 5	-6,05	<30	0,99	0,57	Tidak	Tidak	Tidak	Ya	1,40
Senyawa 6	-4,97	<30	5,11	2,53	Ya	Ya	Ya	Tidak	0,96
Senyawa 7	-5,27	>30	1,03	0,40	Tidak	Tidak	Tidak	Tidak	5,65

Tabel 5. Hasil Prediksi Profil Farmakokinetika Senyawa Golongan Fenolik dari pkCSM.

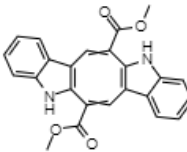
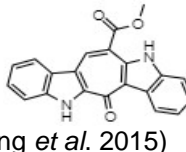
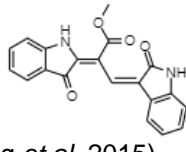
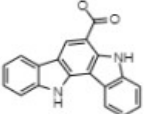
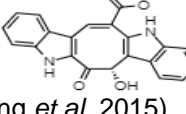
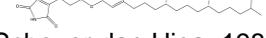
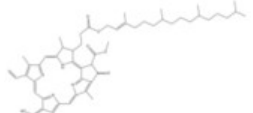
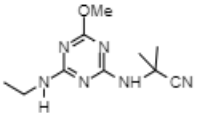
Senyawa	Absorpsi			Distribusi		Metabolisme			Ekskresi	
	Caco -2	HIA (%)	Fu (%)	VD	BBB	CYP2 D6	CYP 3A4	Total klirens	OCT2 Subst rat	
Senyawa 1	0,86	90,26	0,12	0,19	-1,16	Tidak	Tidak	-0,18	Tidak	
		9,96	0,14	0,27	-1,11	Tidak	Tidak	-0,10	Tidak	
		7,03	0,31	-0,59	-2,21	Tidak	Ya	-0,80	Tidak	
		0,27	0,56	0,05	-0,39	Tidak	Tidak	0,07	Tidak	
		3,19	0,29	-0,99	-1,87	Tidak	Ya	-0,80	Tidak	
		1,68	0,01	0,29	0,24	Tidak	Ya	-0,13	Tidak	
		4,30	0,13	0,24	-1,29	Tidak	Tidak	-0,34	Tidak	

Tabel 6, Hasil Prediksi Profil Toksisitas Senyawa Golongan Fenolik dari.

Senyawa	Toksisitas		
	Tes Ames	Genotoksik	Non-genotoksik
Senyawa 1	Tidak	Tidak	Ya
Senyawa 2	Tidak	Tidak	Ya
Senyawa 3	Tidak	Tidak	Ya
Senyawa 4	Tidak	Tidak	Ya
Senyawa 5	Tidak	Tidak	Ya
Senyawa 6	Tidak	Tidak	Tidak
Senyawa 7	Tidak	Tidak	Ya

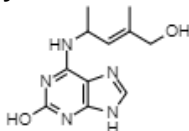
2.2 Golongan Alkaloid

Tabel 7, Senyawa Golongan Alkaloid dan Turunannya yang Terkandung Dalam *Caulerpa* sp.

Caulerpin  (Yang et al. 2015)	Caulersin  (Yang et al. 2015)	Racemosin A  (Yang et al. 2015)
SMILES: COC(=O)C1=CC2=C(C(=C3=C1NC4=CC=CC=C43)C(=O)OC)NC5=C C=CC=C52	SMILES: O=C1C2=C(C3=CC=CC=C3N2[H])C=C(C(OC)=O)C4=C1C5=CC=CC=C 5N4[H]	SMILES: O=C(C1=CC=CC=C1N/2)C2=C(C(OC)=O)/C=C3C 4=C(NC/3=O)C=CC=C4
Racemosin B  (Yang et al. 2015)	Racemosin C  (Yang et al. 2015)	Senyawa 8  (Scheuer dan Higa, 1987)
SMILES: O=C(OC)C1=CC2=C(C3=C1NC4=CC=CC=C43)C(=O)OC C=CC=C52	SMILES: O=C1C2=C(C3=CC=CC=C3N2)/C=C(C(OC)=O)C4=C1C5=CC=CC=C 5N4[C@H]1O	SMILES: CCC/CC=C/COC(CCC1=CCC(NC1=O)=O)=O
Senyawa 10  (Scheuer dan Higa, 1987)	Senyawa 11  (Faulkner, 2000)	



SMILES:	CCC1=C(C2=NC1=CC3	SMILES:	CCN(C1=NC(NCCCC#N)
=C(C4=C(C(C(=C5C(C(CCC1=C2C=C3C(=C4C	=NC(OC)=N1)[H]	
C(=CC6=NC(=C2)C(=C	(=O)C(C(=C5C(C(C(=C		
6C)C=C(N5)C)CCC(=O)	C6=NC(=CC(=N2)C1=C		
OCC=CCCCCC	O)C(=C6C)C=C(N5)C)C		
CCCCCC)C4=N3)C(=	CC(=O)OCC=CCCCCC		
O)OC)O)C)C	CCCCCC)C4=N3)C(=O)OC)C		

Senyawa 12

(Faulkner, 1995)

SMILES:

CC(/C=CC/CO)NC1=N
C(O)=NC2=C1N=CN2

Tabel 8. Hasil Prediksi *Drug-likeness* Senyawa Golongan Alkaloid dari SwissADME.

Senyawa	Lipinski	Ghose	Veber	Egan	Muegge
Caulerpin	Ya	Ya	Ya	Ya	Ya
Caulersin	Ya	Ya	Ya	Ya	Ya
Racemosin A	Ya	Ya	Ya	Ya	Ya
Racemosin B	Ya	Ya	Ya	Ya	Ya
Racemosin C	Ya	Ya	Ya	Ya	Ya
Senyawa 8	Ya	Ya	Ya	Ya	Ya
Senyawa 9	Tidak	Tidak	Tidak	Tidak	Tidak
Senyawa 10	Ya	Tidak	Tidak	Tidak	Tidak
Senyawa 11	Ya	Ya	Ya	Ya	Ya
Senyawa 12	Ya	Ya	Ya	Ya	Ya

Tabel 9. Hasil Prediksi *Drug-likeness* Senyawa Golongan Alkaloid dari ADMETLab 2.0.

Senyawa	NP Score	Lipinski	Pfizer	GSK	Golden Triangle
Caulerpin	0,48	Ya	Ya	Tidak	Ya
Caulersin	0,20	Ya	Tidak	Tidak	Ya
14	Ya	Ya	Ya	Ya	Ya
19	Ya	Tidak	Tidak	Tidak	Ya
73	Ya	Ya	Ya	Ya	Ya
15	Ya	Ya	Ya	Ya	Ya
87	Tidak	Ya	Tidak	Tidak	Tidak
88	Tidak	Ya	Tidak	Tidak	Tidak
13	Ya	Ya	Ya	Ya	Ya



Optimization Software:
www.balesio.com

Senyawa 12	0,59	Ya	Ya	Ya	Ya
------------	------	----	----	----	----

Tabel 10. Hasil Prediksi Profil Farmakokinetika Senyawa Golongan Alkaloid dari ADMETLab 2.0.

Senyawa	Absorpsi			Distribusi		Metabolisme			Ekskresi Total klirens
	Caco -2	HIA (%)	Fu (%)	VD	BBB	CYP 2C9	CYP 2D6	CYP 3A4	
Caulerpin	-6,01	>30	1,06	0,06	Tidak	Ya	Ya	Ya	3,87
Caulersin	-5,26	>30	4,12	0,51	Ya	Ya	Ya	Ya	2,84
Racemosin A	-5,04	>30	1,22	0,42	Tidak	Ya	Tidak	Ya	1,09
Racemosin B	-5,29	>30	2,83	0,41	Ya	Ya	Ya	Tidak	3,77
Racemosin C	-5,38	>30	1,72	0,26	Ya	Ya	Ya	Ya	4,56
Senyawa 8	-4,64	>30	10,28	0,51	Ya	Tidak	Tidak	Tidak	6,71
Senyawa 9	-5,33	>30	1,05	5,31	Tidak	Tidak	Tidak	Ya	0,45
Senyawa 10	-5,28	>30	0,73	4,01	Tidak	Tidak	Tidak	Ya	0,44
Senyawa 11	-4,91	<30	24,01	1,36	Tidak	Tidak	Ya	Tidak	8,73
Senyawa 12	-5,43	>30	21,13	0,69	Tidak	Tidak	Tidak	Tidak	9,47

Tabel 11. Hasil Prediksi Profil Farmakokinetika Senyawa Golongan Alkaloid dari pkCSM.

Senyawa	Absorpsi			Distribusi		Metabolisme			Ekskresi Total klirens	OCT 2 Substrat
	Caco -2	HIA (%)	Fu (%)	VD	BBB	CYP 2D6	CYP 3A4	Total klirens		
Caulerpin	0,97	96,25	0,03	-0,36	0,17	Tidak	Ya	0,80	Tidak	
Caulersin	0,66	96,28	0,08	-0,63	-0,03	Tidak	Ya	0,76	Tidak	
Racemosin A	1,12	93,93	0,03	0,06	-0,04	Tidak	Ya	0,13	Tidak	
Racemosin B	1,24	96,6	0,06	-1,17	0,04	Tidak	Ya	0,93	Tidak	
Racemosin C	0,15	95,5	0,02	0,16	-0,94	Tidak	Ya	0,43	Tidak	
Senyawa 8	0,96	94	0,39	-0,19	-0,43	Tidak	Tidak	1,62	Tidak	
Senyawa 9	0,58	100	0	-1,03	-1,07	Tidak	Ya	-0,05	Tidak	
Senyawa 10	0,13	100	0	-1,05	-1,33	Tidak	Ya	-0,07	Tidak	
Senyawa 11	-0,23	75	0,68	-0,42	-0,71	Tidak	Tidak	0,50	Tidak	
Senyawa 12	-0,25	55,18	0,54	-0,17	-1,38	Tidak	Tidak	0,78	Tidak	

Tabel 12. Hasil Prediksi Profil Toksisitas Senyawa Golongan Alkaloid.

Toksisitas			
Tes Ames		Genotoksik	Non-genotoksik
Tidak		Ya	Ya
Ya		Ya	Ya
Tidak		Ya	Tidak
Ya		Ya	Ya
Tidak		Ya	Ya

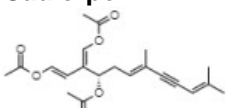
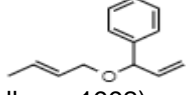
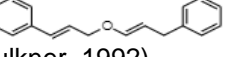
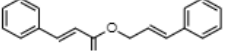
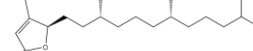
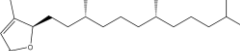
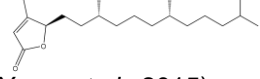
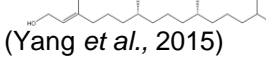
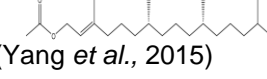
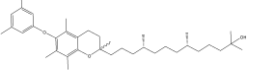
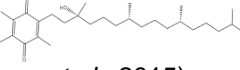


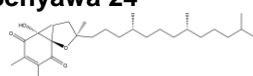
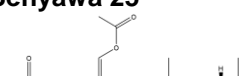
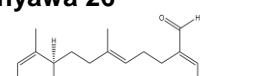
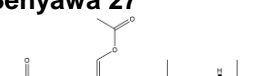
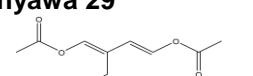
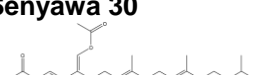
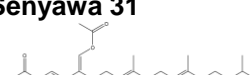
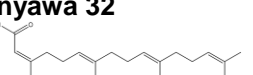
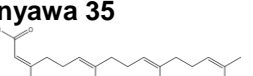
Optimization Software:
www.balesio.com

Senyawa 8	Tidak	Ya	Tidak
Senyawa 9	Tidak	Ya	Tidak
Senyawa 10	Tidak	Ya	Tidak
Senyawa 11	Tidak	Ya	Tidak
Senyawa 12	Tidak	Ya	Tidak

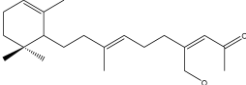
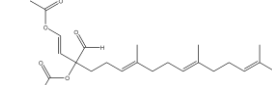
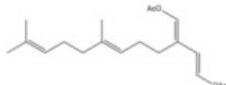
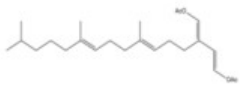
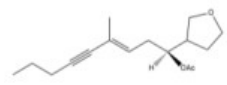
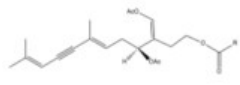
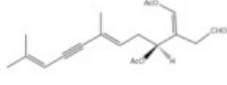
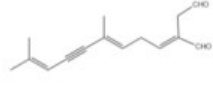
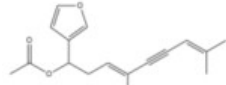
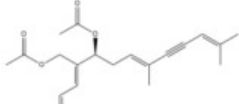
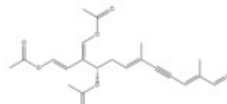
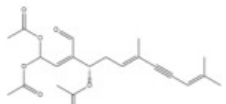
2.3 Golongan Terpenoid

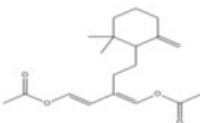
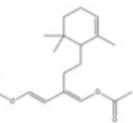
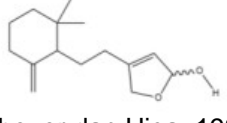
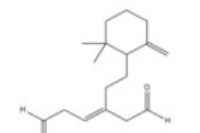
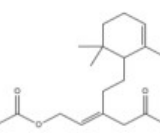
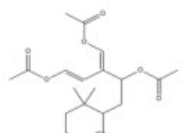
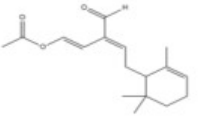
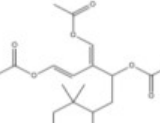
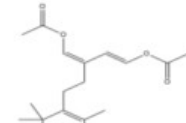
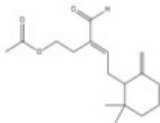
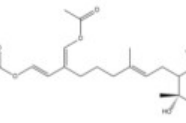
Tabel 13. Senyawa Golongan Terpenoid dan Turunannya yang Terkandung Dalam *Caulerpa* sp.

Caulerpenin  (Yang et al. 2015)	Senyawa 13  (Faulkner, 1992)	Senyawa 14  (Faulkner, 1992) SMILES: <chem>C(O\CC=C\CC1=CC=CC=C1)\C=C\CC1=CC=CC=C1</chem>
SMILES: <chem>CC(=CC#C/C(=C/C[C@H](/C(=C\OC(=O)C)/C=C/OC(=O)C)OC(=O)C)/C/C</chem>	SMILES: <chem>C\CC=C\COC(C=C)C1=CC=CC=C1</chem>	
Senyawa 15  (Faulkner, 1992)	Senyawa 16  (Yang et al., 2015)	Senyawa 17  (Yang et al., 2015)
SMILES: <chem>O=C(OC\CC=C\CC1=CC=CC=C1)\C=C\CC1=CC=CC=C1</chem>	SMILES: <chem>O=C1C=CC[C@H](C[C@H]CCCC[C@H]C(CCCCCC)O)C</chem>	SMILES: <chem>O=C1C=CC[C@H](CC[C@H]CCCC[C@H]CCCCC)C(C)O1</chem>
Senyawa 18  (Yang et al., 2015)	Senyawa 19  (Yang et al., 2015)	Senyawa 20  (Yang et al., 2015)
SMILES: <chem>C[C@H](CCC[C@H]CCCC)CCCC1=CC(OCC1O)=O</chem>	SMILES: <chem>OC/C=CC/CCC[C@H]CCC[C@H]CCCCCCCC</chem>	SMILES: <chem>CC(OC/C=CC/CCC[C@H]CCC[C@H]CCCCCCCC)=O</chem>
Senyawa 21 	Senyawa 22  (Yang et al., 2015)	Senyawa 23  (Yang et al., 2015)
Optimization Software: www.balesio.com	SMILES: <chem>CC1=CC(OC2=CCCC=C2)C(OC(CCC[C@H]CCC)CCC)CC</chem>	SMILES: <chem>CC1=CCC(CC=C(CC[C@H]CCC)C(O)CCC[C@H]CCCC)CC</chem>

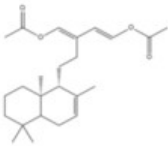
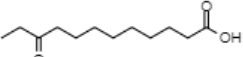
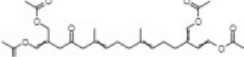
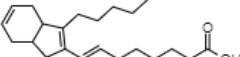
<chem>CCCCC)CCC[C@]@1C CCC2([C@](O)(CC=O) CC=CCC2=O)O1</chem>	<chem>C[C@H]CCCCCCCC)C CC3)C3=C2C)=CCC=C 1</chem>	<chem>[C@H]CCCCCCC)C1=O =O</chem>
Senyawa 24  (Yang et al., 2015)	Senyawa 25  (Scheuer dan Higa, 1987)	Senyawa 26  (Scheuer dan Higa, 1987)
SMILES: <chem>C[C@H](CCC[C@H]CC CCCCC)CCC[C@]1CC C([C@]2(O)C(CC=CCC 3=O)=O)[C@@]23O1</chem>	SMILES: <chem>[C@@H]1(CCCC=CCC C(=C/OCC=O)C=COCC =O)C(=CCCC1CC)C</chem>	SMILES: <chem>C([H])(=O)C=C(CCC=CC CC[C@]@H]1C(=CCCC1 CC)C([H])=O</chem>
Senyawa 27  (Scheuer dan Higa, 1987)	Senyawa 28  (Scheuer dan Higa, 1987)	Senyawa 29  (Scheuer dan Higa, 1987)
SMILES: <chem>[C@@H]1(CCCC=CCC C(COCC=O)=CCOCC=O O)C(=CCCC1CC)C</chem>	SMILES: <chem>C([H])(=O)C(CCC=CCC C[C@@H]1C(=CCCC1 CC)C)=CCOCC=O</chem>	SMILES: <chem>CC(=O)O\CC=C\CC[C @H]1CC=CCC2CCCC CC[C@]@J2C)=C\OCC=O</chem>
Senyawa 30  (Guerriero et al., 1992)	Senyawa 31  (Guerriero et al., 1992)	Senyawa 32  (Guerriero et al., 1992)
SMILES: <chem>CCCCCC\CC=C\CC\CC =C\CC\C(=C/OCC=O)\C =C\OCC=O</chem>	SMILES: <chem>CCC=CCCCC=CCCCC =CCC\C(=C/OCC=O)C=COCC=O</chem>	SMILES: <chem>C([H])(=O)C=C(CCC=CC CCC=CCCCC=CCC)C([H])=O</chem>
Senyawa 33  Higa, 1987)	Senyawa 34  (Scheuer dan Higa, 1987)	Senyawa 35  (Guerriero et al., 1992)
SMILES: <chem>CCC CC=</chem>	SMILES: <chem>C([H])(=O)C(CCC=CCC C[C@@H]1C(=CCCC1 CC)C(COCC=O)C=CO</chem>	SMILES: <chem>C([H])(=O)C=C(CCC=CC CCC=CCCCC=CCC)CO CC=O</chem>



CC=O		
Senyawa 36  (Scheuer dan Higa, 1987) SMILES: <chem>C([H])(C=C(COCC=O)C(CC[C@H]1C(=CCCC1CC)C)C)=O</chem>	Senyawa 37  (Guerriero et al., 1992)	Senyawa 38  (Scheuer dan Higa, 1987)
Senyawa 39  (Scheuer dan Higa, 1987) SMILES: <chem>C/C(CCCCCC)=C\CC/C=C/C/CC(/C=OCC=O)O=C\OCC=O</chem>	Senyawa 40  (Guerriero et al., 1992) SMILES: <chem>[C@H](OCC=O)(C1CCOC1)CC=C(C#CCCC)C</chem>	Senyawa 41  (Guerriero et al., 1992) SMILES: <chem>CC(OCC\C([C@@H](CC=C(C#CC=CCC)C)OCC=O)=C\OCC=O)=O</chem>
Senyawa 42  (Guerriero et al., 1992) SMILES: <chem>[H][C@](C/C=C(C#C/C=CC\CC)C)(OCC=O)/C(C([H])=O)=C\OCC=O</chem>	Senyawa 43  (Guerriero et al., 1992) SMILES: <chem>CC(C#CC=CCC)=CCC=C(CC([H])=O)C([H])=O</chem>	Senyawa 44  (Guerriero et al., 1992) SMILES: <chem>CC=CC#CC(=CCC(C1=COC=C1)OC(=O)C)C</chem>
Senyawa 45  (Guerriero et al., 1992) SMILES: <chem>C/C(=C\CC[C@H]1C(=CCCC1CC)C)C(=O)C</chem>	Senyawa 46  (Guerriero et al., 1992) SMILES: <chem>C/C(=C\CC[C@H]1C(=CCCC1CC)C)C(=O)C</chem>	Senyawa 47  (Guerriero et al., 1992) SMILES: <chem>CC(=CC#CC(=CC[C@H]1C(=CCCC1CC)C)C)C(=O)C</chem>
Senyawa 49 	Senyawa 50	

 (Scheuer dan Higa, 1987)	 (Scheuer dan Higa, 1987)	 (Scheuer dan Higa, 1987)
SMILES: <chem>C1C(C(C(CC1)CC)CC\ C(=C/OCC=O)C=COCC =O)C</chem>	SMILES: <chem>C1=C(C(C(CC1)CC)CC\ C(=C/OCC=O)C=COCC =O)C</chem>	SMILES: <chem>CC1(C)C(CCC2=CC(O)O C2)C(CCC1)=C</chem>
Senyawa 51	Senyawa 52	Senyawa 53
 (Scheuer dan Higa, 1987)	 (Scheuer dan Higa, 1987)	 (Scheuer dan Higa, 1987)
SMILES: <chem>C1C(C(C(CC1)(C)C)CC C(CC(=O)[H])=CCC(=O)[H])=C</chem>	SMILES: <chem>C1=C(C(C(CC1)CC)CC\ C(=C/OCC=O)C=COCC= C(CC(=O)[H])=CCOCC =O)C</chem>	SMILES: <chem>C1=C(C(C(CC1)CC)CC\ C(=C/OCC=O)C=COCC= O)OCC=O)C</chem>
Senyawa 54	Senyawa 55	Senyawa 56
 (Scheuer dan Higa, 1987)	 (Scheuer dan Higa, 1987)	 (Scheuer dan Higa, 1987)
SMILES: <chem>[H]C(=O)\C(=C\CC1CC =CCCC1CC)\C=C\OCC =O</chem>	SMILES: <chem>C1CCC(C(C1=C)CC\C(=C\OCC=O)C=COCC= O)OCC=O)CC</chem>	SMILES: <chem>C1CCC(C(=C1C)CC\C(=C\OCC=O)C=COCC=O)C</chem>
Senyawa 57	Senyawa 58	Senyawa 59
 Higa, <chem>[H]C(=O)</chem>	 (Scheuer dan Higa, 1987)	 (Scheuer dan Higa, 1987)
SMILES: <chem>[H]C(=O)C(\CCOCC=O) =C\CC1C(=C)CCCC1C</chem>		SMILES: <chem>CC(=O)OC=C\CC(CCCCCC =CCCCCCCC[C@]1C O)=C\OCC=O</chem>
Senyawa 58	Senyawa 59	



<chem>=C\CC1CC=CCCC1CC</chem>	C	
Senyawa 60  (Scheuer dan Higa, 1987) SMILES: <chem>CC(=O)O\ C=C\ C\ CC[C@H]1CC=CCC2CCC[CC[C@H]12C)=C\ OC</chem> C=O	Senyawa 61  (Scheuer dan Higa, 1987) SMILES: <chem>CCC=CCCCC=CCCCC=CCCC=CCCCC=CCC=C[C@H](O)CC=C</chem>	Senyawa 62  (Scheuer dan Higa, 1987) SMILES: <chem>CC(=CCCC(=CCCC(=CC</chem> <chem>CC1C(O1)CCCC=CCCC</chem> <chem>=CCC)C)C)C</chem>
Senyawa 63  (Scheuer dan Higa, 1987) SMILES: <chem>CCC(CCCCCCCCCC(O)=O)=O</chem>	Senyawa 64  (Scheuer dan Higa, 1987) SMILES: <chem>CC(=CCCC(=COC(=O)C)C)C=CCCC(=O)CC(=COC(=O)C)COC(=O)C</chem>	Senyawa 65  (Rochfort et al., 1996) SMILES: <chem>CCCCC1=C(/C=C/C(O)CCCC(O)=O)CC2C1CC=CC2</chem>

Tabel 14. Hasil Prediksi *Drug-likeness* Senyawa Golongan Terpenoid dari SwissADME.

Senyawa	Lipinski	Ghose	Veber	Egan	Muegge
Caulerpenin	Ya	Ya	Ya	Ya	Ya
Senyawa 13	Ya	Ya	Ya	Ya	Tidak
Senyawa 14	Ya	Ya	Ya	Ya	Tidak
Senyawa 15	Ya	Ya	Ya	Ya	Ya
Senyawa 16	Ya	Tidak	Tidak	Tidak	Tidak
Senyawa 17	Ya	Tidak	Tidak	Tidak	Tidak
Senyawa 18	Ya	Ya	Tidak	Ya	Tidak
Senyawa 19	Ya	Tidak	Tidak	Tidak	Tidak
Senyawa 20	Ya	Tidak	Tidak	Tidak	Tidak
	Tidak	Tidak	Tidak	Tidak	Tidak
	Tidak	Tidak	Tidak	Tidak	Tidak
	Tidak	Tidak	Tidak	Tidak	Tidak
	Tidak	Tidak	Tidak	Tidak	Tidak
	Ya	Ya	Ya	Ya	Ya
	Tidak	Tidak	Tidak	Tidak	Tidak



Senyawa 28	Ya	Ya	Ya	Ya	Tidak
Senyawa 29	Ya	Tidak	Ya	Tidak	Tidak
Senyawa 30	Ya	Tidak	Tidak	Tidak	Tidak
Senyawa 31	Ya	Tidak	Tidak	Tidak	Tidak
Senyawa 32	Ya	Ya	Tidak	Ya	Tidak
Senyawa 33	Ya	Tidak	Tidak	Tidak	Tidak
Senyawa 34	Ya	Tidak	Tidak	Ya	Ya
Senyawa 35	Ya	Tidak	Tidak	Ya	Tidak
Senyawa 36	Ya	Ya	Ya	Ya	Tidak
Senyawa 37	Ya	Tidak	Tidak	Ya	Tidak
Senyawa 38	Ya	Ya	Tidak	Ya	Tidak
Senyawa 39	Ya	Tidak	Tidak	Tidak	Tidak
Senyawa 40	Ya	Ya	Ya	Ya	Ya
Senyawa 41	Ya	Ya	Tidak	Ya	Ya
Senyawa 42	Ya	Ya	Ya	Ya	Ya
Senyawa 43	Ya	Ya	Ya	Ya	Ya
Senyawa 44	Ya	Ya	Ya	Ya	Ya
Senyawa 45	Ya	Ya	Ya	Ya	Ya
Senyawa 46	Ya	Ya	Tidak	Ya	Ya
Senyawa 47	Ya	Ya	Tidak	Ya	Ya
Senyawa 48	Ya	Ya	Ya	Ya	Ya
Senyawa 49	Ya	Ya	Ya	Ya	Ya
Senyawa 50	Ya	Ya	Ya	Ya	Ya
Senyawa 51	Ya	Ya	Ya	Ya	Ya
Senyawa 52	Ya	Ya	Ya	Ya	Ya
Senyawa 53	Ya	Ya	Ya	Ya	Ya
Senyawa 54	Ya	Ya	Ya	Ya	Ya
Senyawa 55	Ya	Ya	Ya	Ya	Ya
Senyawa 56	Ya	Ya	Ya	Ya	Ya
Senyawa 57	Ya	Ya	Ya	Ya	Ya
Senyawa 58	Ya	Ya	Ya	Ya	Ya
Senyawa 59	Ya	Ya	Tidak	Ya	Tidak
Senyawa 60	Ya	Tidak	Ya	Tidak	Tidak
Senyawa 61	Ya	Tidak	Tidak	Tidak	Tidak
Senyawa 62	Ya	Tidak	Tidak	Tidak	Tidak
Senyawa 63	Ya	Ya	Ya	Ya	Ya
Senyawa 64	Ya	Tidak	Tidak	Ya	Tidak
Senyawa 65	Ya	Ya	Tidak	Ya	Ya

Tabel 15. Hasil Prediksi Drug-likeness Senyawa Golongan Terpenoid dari ADMET-Lab

	core	Lipinski	Pfizer	GSK	Golden Triangle
69	Ya	Ya	Ya	Ya	Ya
70	Ya	Ya	Ya	Ya	Tidak
74	Ya	Tidak	Ya	Ya	Ya
76	Ya	Tidak	Ya	Ya	Ya
78	Ya	Tidak	Tidak	Tidak	Tidak

Optimization Software:
www.balesio.com

Senyawa 17	1,58	Ya	Tidak	Tidak	Tidak
Senyawa 18	1,89	Ya	Tidak	Tidak	Ya
Senyawa 19	1,53	Ya	Tidak	Tidak	Tidak
Senyawa 20	1,41	Ya	Tidak	Tidak	Tidak
Senyawa 21	1,53	Ya	Tidak	Tidak	Tidak
Senyawa 22	0,86	Tidak	Tidak	Tidak	Tidak
Senyawa 23	1,11	Ya	Tidak	Tidak	Tidak
Senyawa 24	1,31	Ya	Tidak	Tidak	Tidak
Senyawa 25	2,43	Ya	Tidak	Tidak	Ya
Senyawa 26	3,01	Ya	Tidak	Tidak	Ya
Senyawa 27	2,55	Ya	Tidak	Tidak	Ya
Senyawa 28	2,84	Ya	Tidak	Tidak	Ya
Senyawa 29	2,36	Ya	Tidak	Tidak	Ya
Senyawa 30	1,56	Ya	Tidak	Tidak	Ya
Senyawa 31	1,53	Ya	Tidak	Tidak	Ya
Senyawa 32	1,87	Ya	Tidak	Tidak	Ya
Senyawa 33	2,55	Ya	Tidak	Tidak	Ya
Senyawa 34	2,29	Ya	Tidak	Tidak	Ya
Senyawa 35	1,74	Ya	Tidak	Tidak	Ya
Senyawa 36	2,74	Ya	Tidak	Tidak	Ya
Senyawa 37	1,57	Ya	Tidak	Tidak	Ya
Senyawa 38	1,86	Ya	Tidak	Tidak	Ya
Senyawa 39	1,57	Ya	Tidak	Tidak	Ya
Senyawa 40	1,36	Ya	Tidak	Ya	Ya
Senyawa 41	1,31	Ya	Ya	Ya	Ya
Senyawa 42	1,61	Ya	Ya	Ya	Ya
Senyawa 43	1,83	Ya	Ya	Ya	Ya
Senyawa 44	1,78	Ya	Tidak	Ya	Ya
Senyawa 45	1,44	Ya	Ya	Ya	Ya
Senyawa 46	1,52	Ya	Ya	Ya	Ya
Senyawa 47	1,26	Ya	Ya	Ya	Ya
Senyawa 48	2,18	Ya	Tidak	Ya	Ya
Senyawa 49	2,11	Ya	Tidak	Tidak	Ya
Senyawa 50	2,86	Ya	Tidak	Ya	Ya
Senyawa 51	2,82	Ya	Ya	Ya	Ya
Senyawa 52	2,65	Ya	Tidak	Tidak	Ya
Senyawa 53	1,99	Ya	Ya	Ya	Ya
Senyawa 54	3,01	Ya	Tidak	Tidak	Ya
Senyawa 55	2,10	Ya	Ya	Ya	Ya
Senyawa 56	1,77	Ya	Tidak	Tidak	Ya
	63	Ya	Tidak	Ya	Ya
	68	Ya	Tidak	Ya	Ya
	77	Ya	Tidak	Tidak	Ya
	86	Ya	Tidak	Tidak	Ya
	92	Ya	Tidak	Tidak	Tidak
	99	Ya	Tidak	Tidak	Tidak
	36	Ya	Ya	Ya	Ya



Senyawa 64	1,60	Ya	Ya	Tidak	Tidak
Senyawa 65	1,49	Ya	Tidak	Tidak	Ya

Tabel 16. Hasil Prediksi Profil Farmakokinetika Senyawa Golongan Terpenoid dari ADMETLab 2.0.

Senyawa	Absorpsi			Distribusi		Metabolisme			Ekskresi Total klien s
	Caco -2	HIA (%)	Fu (%)	VD	BBB	CYP 2C9	CYP 2D6	CYP 3A4	
Caulerpenin	-4,76	>30	18,22	1,54	Ya	Ya	Ya	Ya	3,01
Senyawa 13	-4,28	>30	2,23	0,85	Tidak	Ya	Ya	Tidak	3,63
Senyawa 14	-4,69	>30	2,14	0,60	Ya	Ya	Ya	Tidak	5,57
Senyawa 15	-4,76	>30	2,09	0,54	Ya	Ya	Ya	Tidak	6,94
Senyawa 16	-4,62	>30	2,47	1,62	Ya	Ya	Tidak	Tidak	2,82
Senyawa 17	-4,62	>30	2,80	1,46	Tidak	Ya	Tidak	Tidak	4,35
Senyawa 18	-4,71	>30	2,443	1,41	Tidak	Ya	Tidak	Tidak	2,87
Senyawa 19	-4,51	>30	2,23	2,29	Tidak	Tidak	Tidak	Tidak	5,65
Senyawa 20	-4,71	>30	2,55	1,56	Ya	Ya	Tidak	Tidak	4,04
Senyawa 21	-4,78	>30	2,19	1,30	Ya	Tidak	Tidak	Ya	8,30
Senyawa 22	-5,77	>30	2,99	5,98	Ya	Ya	Ya	Tidak	7,50
Senyawa 23	-4,75	>30	1,85	2,09	Tidak	Ya	Tidak	Tidak	4,73
Senyawa 24	-4,81	>30	3,07	1,87	Ya	Tidak	Tidak	Tidak	6,21
Senyawa 25	-4,83	>30	9,55	1,20	Ya	Tidak	Tidak	Tidak	2,57
Senyawa 26	-4,54	>30	3,74	2,86	Tidak	Ya	Ya	Tidak	2,18
Senyawa 27	-4,53	>30	3,92	2,32	Tidak	Ya	Ya	Tidak	3,98
Senyawa 28	-4,55	>30	3,69	2,04	Tidak	Ya	Ya	Tidak	3,28
Senyawa 29	-4,69	>30	15,75	1,02	Ya	Ya	Tidak	Tidak	2,21
Senyawa 30	-4,78	>30	13,33	0,88	Ya	Ya	Tidak	Tidak	2,47
Senyawa 31	-4,84	>30	16,06	0,96	Ya	Ya	Tidak	Tidak	2,48
Senyawa 32	-4,57	>30	5,18	4,62	Tidak	Ya	Tidak	Tidak	2,58
Senyawa 33	-4,53	>30	3,92	2,32	Tidak	Ya	Tidak	Tidak	3,98
Senyawa 34	-4,73	>30	17,15	1,68	Ya	Tidak	Tidak	Tidak	3,16
Senyawa 35	-4,57	>30	4,64	5,56	Ya	Ya	Tidak	Tidak	2,09
Senyawa 36	-4,54	>30	3,97	3,14	Ya	Ya	Tidak	Tidak	1,66
Senyawa 37	-4,70	>30	10,16	2,26	Ya	Tidak	Tidak	Tidak	5,48
Senyawa 38	-4,81	>30	11,34	1,32	Ya	Tidak	Tidak	Tidak	4,17
Senyawa 39	-4,78	>30	13,33	0,88	Ya	Ya	Tidak	Tidak	2,47
Senyawa 40	-4,37	>30	4,12	1,73	Ya	Ya	Ya	Tidak	5,72
Senyawa 41	-4,55	>30	15,85	1,69	Ya	Tidak	Tidak	Tidak	2,95
Senyawa 42	-4,52	>30	16,55	1,66	Ya	Tidak	Tidak	Tidak	3,28
		>30	9,07	1,73	Ya	Ya	Ya	Tidak	4,74
		>30	2,29	3,69	Ya	Ya	Ya	Ya	7,63
		>30	16,03	2,35	Ya	Tidak	Ya	Tidak	2,74
		>30	17,56	1,39	Tidak	Tidak	Tidak	Tidak	1,93
		>30	24,94	2,46	Ya	Tidak	Tidak	Tidak	2,60
		>30	40,23	0,74	Ya	Tidak	Tidak	Tidak	2,37
		>30	24,74	1,02	Ya	Tidak	Tidak	Tidak	2,45



Senyawa 50	-4,58	>30	16,28	1,47	Ya	Ya	Ya	Tidak	5,26
Senyawa 51	-4,54	>30	20,65	1,21	Tidak	Ya	Ya	Tidak	5,01
Senyawa 52	-4,49	>30	23,64	1,91	Ya	Ya	Tidak	Tidak	5,76
Senyawa 53	-4,83	>30	33,76	1,01	Ya	Tidak	Tidak	Tidak	2,36
Senyawa 54	-4,54	>30	21,30	1,66	Ya	Ya	Ya	Tidak	2,31
Senyawa 55	-4,82	>30	44,51	0,81	Ya	Tidak	Tidak	Tidak	2,34
Senyawa 56	-4,77	>30	12,32	1,35	Ya	Tidak	Tidak	Tidak	2,75
Senyawa 57	-4,52	>30	12,66	1,54	Ya	Ya	Ya	Tidak	4,88
Senyawa 58	-4,56	>30	35,09	1,11	Ya	Ya	Ya	Tidak	3,80
Senyawa 59	-4,74	>30	30,37	0,78	Ya	Ya	Tidak	Tidak	2,72
Senyawa 60	-4,69	>30	15,76	1,02	Ya	Ya	Tidak	Tidak	2,21
Senyawa 61	-4,70	>30	5,11	8,11	Tidak	Ya	Tidak	Tidak	11,85
Senyawa 62	-4,68	>30	4,63	8,91	Tidak	Ya	Tidak	Tidak	18,74
Senyawa 63	-4,92	>30	9,45	0,29	Ya	Ya	Tidak	Tidak	4,65
Senyawa 64	-4,89	>30	25,49	1,25	Ya	Tidak	Tidak	Tidak	1,88
Senyawa 65	-4,81	>30	0,91	0,48	Tidak	Ya	Ya	Tidak	3,83

Tabel 17. Hasil Prediksi Profil Farmakokinetika Senyawa Golongan Terpenoid dari pkCSM.

Senyawa	Absorpsi			Distribusi		Metabolisme		Ekskresi	
	Cac o-2	HIA (%)	Fu (%)	VD	BBB	CYP 2D6	CYP 3A4	Total klirens	OCT2 Subst rat
Caulerpenin	1,28	96,52	0,22	-0,35	-0,68	Tidak	Tidak	1,83	Ya
Senyawa 13	1,63	95,53	0,20	0,47	0,68	Tidak	Tidak	0,37	Tidak
Senyawa 14	1,56	94,82	0	0,57	0,78	Tidak	Ya	0,26	Tidak
Senyawa 15	1,68	95,47	0	0,27	0,39	Tidak	Ya	0,77	Tidak
Senyawa 16	1,64	94,9	0	0,41	0,72	Tidak	Ya	1,43	Tidak
Senyawa 17	1,65	94,9	0	0,41	0,72	Tidak	Ya	1,43	Tidak
Senyawa 18	1,51	91,61	0,06	0,12	0,16	Tidak	Ya	1,44	Tidak
Senyawa 19	1,52	91,9	0	0,47	0,81	Tidak	Ya	1,68	Tidak
Senyawa 20	1,20	94,25	0	0,30	0,75	Tidak	Ya	1,68	Tidak
Senyawa 21	0,62	91,4	0	0,03	-0,04	Tidak	Ya	0,94	Tidak
Senyawa 22	1,48	94,11	0	0,62	0,98	Tidak	Ya	0,26	Tidak
Senyawa 23	1,16	93,16	0	-0,11	-0,58	Tidak	Ya	1,15	Tidak
Senyawa 24	0,60	92,69	0	0,12	0,48	Tidak	Ya	0,73	Tidak
Senyawa 25	1,14	93,91	0,03	0,11	0,11	Tidak	Ya	1,46	Ya
Senyawa 26	1,37	95,81	0,08	0,26	0,18	Tidak	Ya	1,58	Ya
Senyawa 27	1,13	95	0,05	0,11	0,07	Tidak	Ya	1,48	Ya
	96	0,06	0,16	0,08	Tidak	Ya	1,53	Ya	
	95,71	0	0,07	-0,07	Tidak	Ya	0,86	Tidak	
	93,32	0	-0,06	-0,12	Tidak	Ya	1,85	Tidak	
	94,1	0	-0,02	-0,06	Tidak	Ya	1,92	Tidak	
	95,71	0,02	0,13	0,01	Tidak	Ya	2,03	Tidak	
	94,99	0,05	0,11	0,07	Tidak	Ya	1,48	Ya	
	95,95	0,06	-0,06	-0,55	Tidak	Ya	1,14	Ya	

Senyawa 35	1,37	95,40	0,01	0,01	-0,05	Tidak	Ya	1,98	Tidak
Senyawa 36	1,17	95,18	0,05	0,18	-0,06	Tidak	Ya	1,52	Ya
Senyawa 37	0,75	95,82	0,02	-0,26	-0,63	Tidak	Ya	1,95	Tidak
Senyawa 38	1,51	94,45	0,15	-0,05	0,04	Tidak	Ya	1,82	Tidak
Senyawa 39	1,14	92,78	0	-0,09	-0,19	Tidak	Ya	1,85	Tidak
Senyawa 40	1,52	97,96	0,30	-0,01	0,28	Tidak	Tidak	1,51	Ya
Senyawa 41	1,10	97,23	0,23	-0,47	-0,71	Tidak	Ya	1,81	Ya
Senyawa 42	0,99	97,98	0,25	-0,39	-0,46	Tidak	Ya	1,76	Ya
Senyawa 43	1,64	97,55	0,24	0,09	0,23	Tidak	Tidak	0,57	Tidak
Senyawa 44	1,80	95,48	0,18	0,13	0,07	Tidak	Ya	0,7	Tidak
Senyawa 45	1,15	98,13	0,26	-0,26	-0,45	Tidak	Ya	1,88	Tidak
Senyawa 46	1,08	80,74	0,27	-0,54	-0,92	Tidak	Ya	1,94	Ya
Senyawa 47	1,21	81,94	0,25	-0,41	-0,91	Tidak	Ya	1,88	Tidak
Senyawa 48	1,43	94,31	0,15	-0,06	0,22	Tidak	Ya	1,37	Tidak
Senyawa 49	1,43	94,80	0,24	0,01	0,21	Tidak	Ya	1,36	Tidak
Senyawa 50	1,43	95,14	0,22	0,31	0,59	Tidak	Ya	1,15	Tidak
Senyawa 51	1,44	96,54	0,12	0,21	-0,12	Tidak	Ya	1,4	Ya
Senyawa 52	1,50	96,20	0,22	0,16	-0,10	Tidak	Ya	1,4	Ya
Senyawa 53	0,10	96,08	0,29	-0,24	-0,71	Tidak	Ya	1,41	Tidak
Senyawa 54	1,40	95,83	0,28	0,05	0,25	Tidak	Tidak	1,45	Ya
Senyawa 55	0,88	95,78	0,20	-0,30	-0,70	Tidak	Ya	1,41	Ya
Senyawa 56	1,44	94,47	0,23	0,02	0,21	Tidak	Ya	1,36	Tidak
Senyawa 57	1,40	96,22	0,31	0,07	0,23	Tidak	Tidak	1,43	Tidak
Senyawa 58	1,41	97	0,20	-0,05	0,14	Tidak	Tidak	1,44	Ya
Senyawa 59	0,74	92,11	0,10	-0,11	-0,51	Tidak	Ya	1,14	Tidak
Senyawa 60	1,21	95,71	0	0,07	-0,07	Tidak	Ya	0,86	Tidak
Senyawa 61	1,31	90,34	0	0,31	0,86	Tidak	Ya	1,80	Tidak
Senyawa 62	1,38	90,87	0	0,32	0,88	Tidak	Ya	1,42	Tidak
Senyawa 63	1,41	94,58	0,32	-0,75	0,20	Tidak	Tidak	1,7	Tidak
Senyawa 64	0,73	74,41	0,13	-0,54	-1,55	Tidak	Ya	2	Ya
Senyawa 65	1,30	93,65	0,11	-0,85	-0,50	Tidak	Ya	1,55	Tidak

Tabel 18. Hasil Prediksi Profil Toksisitas Senyawa Golongan Terpenoid.

Senyawa	Toksisitas		
	Tes Ames	Genotoksik	Non-genotoksik
Caulerpenin	Tidak	Ya	Tidak
Senyawa 13	Tidak	Ya	Tidak
Senyawa 14	Tidak	Ya	Tidak
Senyawa 15	Tidak	Ya	Ya
	Tidak	Tidak	Tidak
	Tidak	Tidak	Tidak
	Tidak	Tidak	Tidak
	Tidak	Ya	Tidak
Optimization Software: www.balesio.com	Tidak	Tidak	Tidak

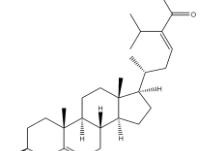
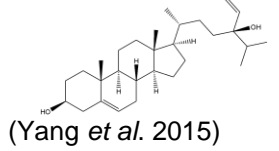
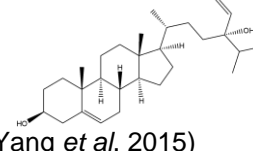
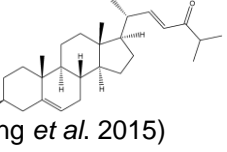
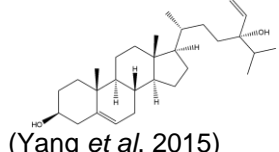
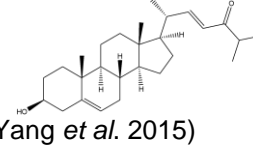
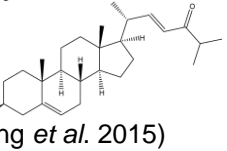
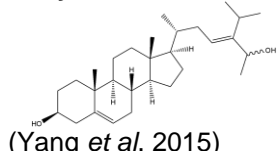
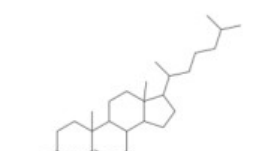


Senyawa 23	Tidak	Ya	Ya
Senyawa 24	Tidak	Ya	Tidak
Senyawa 25	Tidak	Ya	Tidak
Senyawa 26	Tidak	Ya	Ya
Senyawa 27	Tidak	Ya	Tidak
Senyawa 28	Tidak	Ya	Tidak
Senyawa 29	Tidak	Ya	Tidak
Senyawa 30	Tidak	Ya	Tidak
Senyawa 31	Tidak	Ya	Tidak
Senyawa 32	Tidak	Ya	Ya
Senyawa 33	Tidak	Ya	Tidak
Senyawa 34	Tidak	Ya	Tidak
Senyawa 35	Tidak	Ya	Ya
Senyawa 36	Tidak	Ya	Ya
Senyawa 37	Tidak	Ya	Tidak
Senyawa 38	Tidak	Ya	Tidak
Senyawa 39	Tidak	Ya	Tidak
Senyawa 40	Tidak	Tidak	Tidak
Senyawa 41	Tidak	Tidak	Tidak
Senyawa 42	Tidak	Tidak	Tidak
Senyawa 43	Tidak	Ya	Tidak
Senyawa 44	Tidak	Tidak	Tidak
Senyawa 45	Tidak	Ya	Ya
Senyawa 46	Tidak	Ya	Tidak
Senyawa 47	Tidak	Ya	Tidak
Senyawa 48	Tidak	Ya	Tidak
Senyawa 49	Tidak	Ya	Tidak
Senyawa 50	Tidak	Ya	Tidak
Senyawa 51	Tidak	Tidak	Tidak
Senyawa 52	Tidak	Ya	Tidak
Senyawa 53	Tidak	Ya	Tidak
Senyawa 54	Tidak	Ya	Tidak
Senyawa 55	Tidak	Ya	Tidak
Senyawa 56	Tidak	Ya	Tidak
Senyawa 57	Tidak	Ya	Tidak
Senyawa 58	Tidak	Ya	Tidak
Senyawa 59	Tidak	Ya	Tidak
Senyawa 60	Tidak	Ya	Tidak
Senyawa 61	Tidak	Tidak	Tidak
Senyawa 62	Tidak	Ya	Ya
	Tidak	Tidak	Tidak
	Tidak	Ya	Ya
	Tidak	Tidak	Tidak

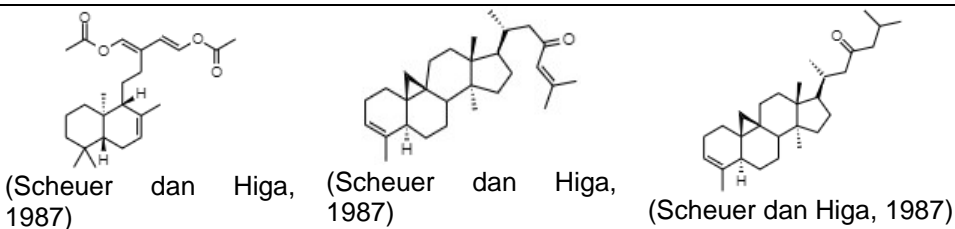


2.4 Golongan Steroid

Tabel 19. Senyawa Golongan Steroid dan Turunannya yang Terkandung Dalam *Caulerpa* sp.

Senyawa 66	Senyawa 67	Senyawa 68
 (Yang et al. 2015)	 (Yang et al. 2015)	 (Yang et al. 2015)
SMILES: <chem>[H][C@@@]1(CC[C@@@]2([H])[C@]3([H])CC=C4C[C@@H](O)CC[C@]4C[C@@@]3([H])CC[C@]12C[C@H]CCC[C@](O)(C=C)CCC</chem>	SMILES: <chem>[H][C@@@]1(CC[C@@@]2([H])[C@]3([H])CC=C4C[C@@H](O)CC[C@]4C[C@@@]3([H])CC[C@]12C[C@H]CCC[C@](O)(C=C)CCC</chem>	SMILES: <chem>[H][C@@@]1(CC[C@@@]2([H])[C@]3([H])CC=C4C[C@@H](O)CC[C@]4C[C@@@]3([H])CC[C@]12C[C@H]CCC[C@](O)(C=C)CCC</chem>
Senyawa 69	Senyawa 70	Senyawa 71
 (Yang et al. 2015)	 (Yang et al. 2015)	 (Yang et al. 2015)
SMILES: <chem>[H][C@@@]1(CC[C@@@]2([H])[C@]3([H])CC=C4C[C@@H](O)CC[C@]4C[C@@@]3([H])CC[C@]12C[C@H]CCC[C@](C(=O)C)CCC</chem>	SMILES: <chem>[H][C@@@]1(CC[C@@@]2([H])[C@]3([H])CC=C4C[C@@H](O)CC[C@]4C[C@@@]3([H])CC[C@]12C[C@H]CCC[C@](O[C@H]1C)CCC</chem>	SMILES: <chem>[H][C@@@]1(CC[C@@@]2([H])[C@]3([H])CC=C4C[C@@H](O)CC[C@]4C[C@@@]3([H])CC[C@]12C[C@H]CCC[C@](O[C@H]1C)CCC</chem>
Senyawa 72	Senyawa 73	Senyawa 74
 (Yang et al. 2015)	 (Yang et al. 2015)	 (Rochfort et al., 1996)
SMILES: <chem>[H][C@@@]1(CC[C@@@]2([H])[C@]3([H])CC=C4C[C@@H](O)CC[C@]4C[C@@@]3([H])CC[C@]12C[C@H]CCC[C@](C(=O)C)CCC</chem>	SMILES: <chem>[H][C@@@]1(CC[C@@@]2([H])[C@]3([H])CC=C4C[C@@H](O)CC[C@]4C[C@@@]3([H])CC[C@]12C[C@H]CCC[C@](O[C@H]1C)CCC</chem>	SMILES: <chem>CCCCCCCCCC1CCC2C1(CCC3C2CC=C4C3(CCC4C)O)C</chem>
Senyawa 76	Senyawa 77	



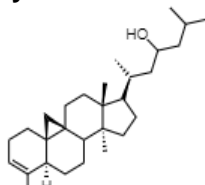


SMILES:
[H]C1(CC\C(=C/OCC=O)\C=C\OCC=O)CC=CC[C@]2([H])CCCCC[C@]12C

SMILES:
C[C@@]12[C@](CC[C@@H]2[CC(=O)C]CC3CC[C@]4[H])[CC(C=CC/C=O)C]CC3CC[C@H]4C(C)[C@]3CC1

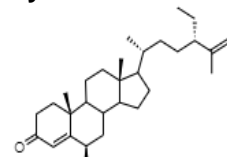
SMILES:
C[C@]12[C@]C(C3CC[C@@H]4CC=CCC[C@]45C[C@]53CC2)[H])CC[C@H]1CCCC(CCCC)=O

Senyawa 78



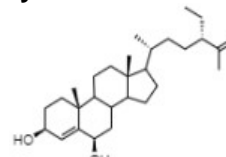
(Scheuer dan Higa, 1987)

Senyawa 79



(Rochfort et al., 1996)

Senyawa 80



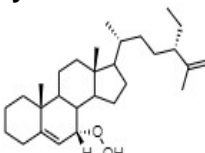
(Rochfort et al., 1996)

SMILES:
C[C@]12[C@]C(C3CC[C@@H]4CC=CCC[C@]45C[C@]53CC2)[H])CC[C@H]1CCCC(O)CCCC

SMILES:
O=C1CC[C@H]2CC([C@H](O)CC3C2CC[C@H]4CC3CCCC4[C@H]CC[C@H](CC)CC=C)C1

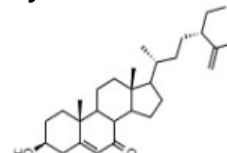
SMILES:
CC[C@H](CC[C@H]2CC[C@H]3CC[C@H]4CC=CCC[C@]45C[C@]53CC2)[H])CC[C@H]1CCCC(CCCC)=O

Senyawa 81



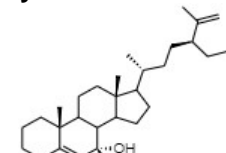
(Rochfort et al., 1996)

Senyawa 82



(Rochfort et al., 1996)

Senyawa 83



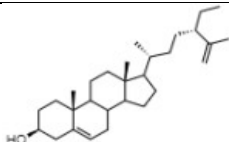
(Rochfort et al., 1996)

SMILES:
CC[C@H](CC=C)CC[C@H]1CC[C@H]2CC[C@H]3CC[C@H]4CC=CCC[C@]45C[C@]53CC2)[H])CC[C@H]1CCCC(O)CCCC

SMILES:
C[C@H](CC[C@H]2CC[C@H]3CC[C@H]4CC=CCC[C@]45C[C@]53CC2)[H])CC[C@H]1CCCC(CCCC)=O

SMILES:
C[C@H](CC[C@H]2CC[C@H]3CC[C@H]4CC=CCC[C@]45C[C@]53CC2)[H])CC[C@H]1CCCC(CCCC)=O





(Rochfort et al., 1996)

SMILES:

C[C@H](CC[C@H](CC)CC=C)C1CCC2C3CC=C4C[C@H](O)CC[C@@]4(C3CC[C@@]21)C)C
Tabel 20. Hasil Prediksi *Drug-likeness* Senyawa Golongan Steroid dari SwissADME.

Senyawa	Lipinski	Ghose	Veber	Egan	Muegge
Senyawa 66	Ya	Tidak	Ya	Tidak	Tidak
Senyawa 67	Ya	Tidak	Ya	Tidak	Tidak
Senyawa 68	Ya	Tidak	Ya	Tidak	Tidak
Senyawa 69	Ya	Tidak	Ya	Tidak	Tidak
Senyawa 70	Ya	Tidak	Ya	Tidak	Tidak
Senyawa 71	Ya	Tidak	Ya	Tidak	Tidak
Senyawa 72	Ya	Tidak	Ya	Tidak	Tidak
Senyawa 73	Ya	Tidak	Ya	Tidak	Tidak
Senyawa 74	Ya	Tidak	Ya	Tidak	Tidak
Senyawa 75	Ya	Tidak	Ya	Tidak	Tidak
Senyawa 76	Ya	Tidak	Ya	Tidak	Tidak
Senyawa 77	Ya	Tidak	Ya	Tidak	Tidak
Senyawa 78	Ya	Tidak	Ya	Tidak	Tidak
Senyawa 79	Ya	Tidak	Ya	Tidak	Tidak
Senyawa 80	Ya	Tidak	Ya	Tidak	Tidak
Senyawa 81	Ya	Tidak	Ya	Tidak	Tidak
Senyawa 82	Ya	Tidak	Ya	Tidak	Tidak
Senyawa 83	Ya	Tidak	Ya	Tidak	Tidak
Senyawa 84	Ya	Tidak	Ya	Tidak	Tidak

Tabel 21. Hasil Prediksi *Drug-likeness* Senyawa Golongan Steroid dari ADMETLab 2.0.

Senyawa	NP Score	Lipinski	Pfizer	GSK	Golden Triangle
Senyawa 66	2.59	Ya	Tidak	Tidak	Tidak
	7	Ya	Tidak	Tidak	Tidak
	7	Ya	Tidak	Tidak	Tidak
	5	Ya	Tidak	Tidak	Ya
	0	Ya	Tidak	Tidak	Tidak
	0	Ya	Tidak	Tidak	Tidak
	0	Ya	Tidak	Tidak	Tidak
	5	Ya	Tidak	Tidak	Tidak
Optimization Software: www.balesio.com					

Senyawa 74	2,53	Ya	Tidak	Tidak	Tidak
Senyawa 75	2,36	Ya	Tidak	Tidak	Ya
Senyawa 76	3,38	Ya	Tidak	Tidak	Tidak
Senyawa 77	3,17	Ya	Tidak	Tidak	Ya
Senyawa 78	3,12	Ya	Tidak	Tidak	Tidak
Senyawa 79	2,56	Ya	Tidak	Tidak	Tidak
Senyawa 80	2,98	Ya	Tidak	Tidak	Tidak
Senyawa 81	2,96	Ya	Tidak	Tidak	Tidak
Senyawa 82	2,92	Ya	Tidak	Tidak	Tidak
Senyawa 83	2,87	Ya	Tidak	Tidak	Tidak
Senyawa 84	2,84	Ya	Tidak	Tidak	Tidak

Tabel 22. Hasil Prediksi Profil Farmakokinetika Senyawa Golongan Steroid dari ADMETLab 2.0.

Senyawa	Absorpsi			Distribusi		Metabolisme			Ekskresi
	Caco -2	HIA (%)	Fu (%)	VD	BBB	CYP 2C9	CYP 2D6	CYP 3A4	
Senyawa 66	-4,66	>30	1,28	1,11	Tidak	Tidak	Tidak	Ya	5,30
Senyawa 67	-4,63	>30	1,60	1,16	Ya	Tidak	Ya	Ya	6,10
Senyawa 68	-4,57	>30	1,36	1,10	Ya	Tidak	Tidak	Ya	7,82
Senyawa 69	-4,56	>30	2,09	1,05	Ya	Tidak	Ya	Tidak	17,46
Senyawa 70	-4,63	>30	1,72	1,57	Ya	Tidak	Ya	Ya	6,45
Senyawa 71	-4,66	>30	1,66	1,35	Tidak	Tidak	Ya	Ya	7,35
Senyawa 72	-4,63	>30	1,60	1,42	Tidak	Tidak	Ya	Ya	1
Senyawa 73	-4,61	>30	1,53	1,19	Ya	Tidak	Ya	Ya	5,78
Senyawa 74	-4,73	>30	1,74	1,85	Ya	Ya	Tidak	Tidak	15,75
Senyawa 75	-4,77	>30	12	1,11	Ya	Ya	Ya	Tidak	2,15
Senyawa 76	-4,94	>30	2,17	1,62	Tidak	Tidak	Tidak	Ya	14,45
Senyawa 77	-4,83	>30	1,58	1,34	Ya	Tidak	Tidak	Ya	17,22
Senyawa 78	-4,70	>30	1,63	1,48	Ya	Tidak	Tidak	Ya	17,39
Senyawa 79	-4,83	>30	1,51	1,37	Ya	Tidak	Ya	Ya	9,76
Senyawa 80	-4,69	>30	1,47	1,28	Tidak	Ya	Ya	Ya	8,48
Senyawa 81	-4,68	>30	1,51	2,08	Ya	Ya	Ya	Ya	4,89
Senyawa 82	-4,80	>30	1,92	0,88	Ya	Tidak	Ya	Ya	8,25
Senyawa 83	-4,67	>30	1,36	2,02	Ya	Ya	Ya	Ya	6,72
Senyawa 84	-4,67	>30	1,36	2,09	Ya	Tidak	Ya	Ya	8,75

Tabel 23. Hasil Prediksi Profil Farmakokinetika Senyawa Golongan Steroid dari pkCSM.

	Absorpsi			Distribusi		Metabolisme			Ekskresi
	HIA (%)	Fu (%)	VD	BBB	CYP 2D6	CYP 3A4	Total klirens	OCT2 Substr at	
	96,94	0	0,07	-0,20	Tidak	Ya	0,53	Tidak	
	95,53	0	-0,08	-0,23	Tidak	Ya	0,67	Tidak	
	95,53	0	-0,08	-0,23	Tidak	Ya	0,67	Tidak	

Senyawa 69	1,46	97,87	0	0,01	-0,11	Tidak	Ya	0,57	Tidak
Senyawa 70	1,29	96,41	0	0,19	0,81	Tidak	Ya	0,62	Tidak
Senyawa 71	1,34	97,51	0	0,13	-0,08	Tidak	Ya	0,50	Tidak
Senyawa 72	1,34	97,51	0	0,13	-0,08	Tidak	Ya	0,50	Tidak
Senyawa 73	1,25	94,42	0	0,05	-0,24	Tidak	Ya	0,62	Tidak
Senyawa 74	1,21	93,72	0	0,38	0,76	Tidak	Ya	0,60	Tidak
Senyawa 75	1,16	95,58	0	0,10	0,13	Tidak	Ya	0,86	Ya
Senyawa 76	1,19	98,36	0	-0,05	0,83	Tidak	Ya	0,30	Tidak
Senyawa 77	1,22	99,85	0	-0,98	0,86	Tidak	Ya	0,30	Tidak
Senyawa 78	1,38	97,40	0	-0,45	0,83	Tidak	Ya	0,35	Tidak
Senyawa 79	1,35	97,90	0	-0,13	-0,20	Tidak	Ya	0,63	Tidak
Senyawa 80	1,34	95,55	0	-0,12	-0,10	Tidak	Ya	0,70	Tidak
Senyawa 81	1,37	93,41	0	-0,71	0,77	Tidak	Ya	0,75	Tidak
Senyawa 82	1,21	96,37	0	0,09	-0,34	Tidak	Ya	0,62	Tidak
Senyawa 83	1,38	97,78	0	-0,50	0,86	Tidak	Ya	0,68	Tidak
Senyawa 84	1,21	95,15	0	0,29	0,77	Tidak	Ya	0,67	Tidak

Tabel 24. Hasil Prediksi Profil Toksisitas Senyawa Golongan Steroid.

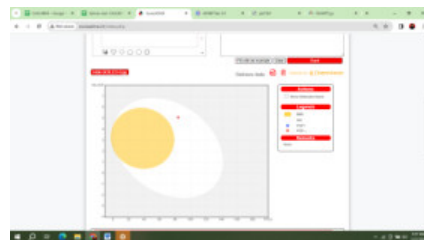
Senyawa	Toksisitas		
	Tes Ames	Genotoksik	Non-genotoksik
Senyawa 66	Tidak	Ya	Tidak
Senyawa 67	Tidak	Tidak	Tidak
Senyawa 68	Tidak	Tidak	Tidak
Senyawa 69	Tidak	Tidak	Tidak
Senyawa 70	Tidak	Tidak	Tidak
Senyawa 71	Tidak	Ya	Tidak
Senyawa 72	Tidak	Ya	Tidak
Senyawa 73	Tidak	Tidak	Tidak
Senyawa 74	Tidak	Tidak	Tidak
Senyawa 75	Tidak	Ya	Tidak
Senyawa 76	Tidak	Ya	Tidak
Senyawa 77	Tidak	Tidak	Tidak
Senyawa 78	Tidak	Tidak	Tidak
Senyawa 79	Tidak	Tidak	Tidak
Senyawa 80	Tidak	Tidak	Tidak
Senyawa 81	Ya	Ya	Tidak
Senyawa 82	Tidak	Ya	Tidak
Senyawa 83	Tidak	Tidak	Tidak
Senyawa 84	Tidak	Tidak	Tidak



Lampiran 3. Dokumentasi Penelitian



Gambar 16. Proses prediksi *drug-likeness* dari SwissADME



Gambar 17. Ilustrasi *Boiled-egg* dari SwissADME



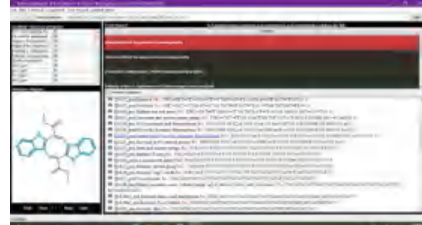
Gambar 18. Prediksi profil farmakokinetika dari pkCSM



Gambar 19. Prediksi profil farmakokinetika dari ADMETLab 2.0



Gambar 20. Prediksi situs metabolisme dari SMARTCyp



Gambar 21. Prediksi toksitas dari Toxtree



Optimization Software:
www.balesio.com